

计算流体力学 Project02

陈俊霖

junlin.chen@pku.edu.cn

学号 1901111617

2020年4月30日

摘要：程序实现一维完全气体Euler方程的Lax-Friedrichs格式，和MacCormack(两步Lax-Wendroff)格式. 应用上述两种格式实现了两个算例. 程序语言为MATLAB. 计算结果表明MacCormack相对Lax-Friedrichs格式有更高的精度，但非线性稳定性差，在极值点和间断点前后存在非物理振荡.

1 问题描述

控制方程为一维完全气体Euler方程

$$\begin{cases} \frac{\partial}{\partial t} \begin{pmatrix} \rho \\ \rho u \\ E \end{pmatrix} + \frac{\partial}{\partial x} \begin{pmatrix} \rho u \\ \rho u^2 + p \\ u(E + p) \end{pmatrix} = 0 \\ p = (\gamma - 1) \left(E - \frac{1}{2} \rho u^2 \right), \gamma = 1.4 \end{cases} \quad (1.1)$$

初始时刻($t = 0$)物理量的分布为 $u_0(x)$. 需要计算 $t = t_0$ 时刻物理量的分布.

2 有限差分法求解

守恒形式的差分格式

$$\mathbf{U}_j^{n+1} = \mathbf{U}_j^n - \frac{\Delta t}{\Delta x} \left(\mathbf{F}_{j+\frac{1}{2}} - \mathbf{F}_{j-\frac{1}{2}} \right) \quad (2.1)$$

本报告中用两种方法计算数值通量.

(1) Lax-Friedrichs格式:

$$\mathbf{F}_{j+\frac{1}{2}} = \frac{1}{2} [f(\mathbf{U}_j^n) + f(\mathbf{U}_{j+1}^n)] - \frac{\Delta x}{2\Delta t} [\mathbf{U}_{j+1}^n - \mathbf{U}_j^n]. \quad (2.2)$$

(2) MacCormack(两步Lax-Wendroff)格式:

$$\mathbf{U}_j^* = \mathbf{U}_j^n - \frac{\Delta t}{\Delta x} [f(\mathbf{U}_{j+1}^n) - f(\mathbf{U}_j^n)] \quad (2.3)$$

$$\mathbf{F}_{j+\frac{1}{2}} = \frac{1}{2} [f(\mathbf{U}_{j+1}^n) + f(\mathbf{U}_j^*)] \quad (2.4)$$

3 算例

3.1 一般Riemann问题

求解(1.1), Neumann边界条件, 初始数据

$$U = \begin{cases} (1, 0, 2.5)^T, & x < 0.3 \\ (0.125, 0, 0.25)^T, & x > 0.3 \end{cases} \quad (3.1)$$

应用Lax-Friedrichs格式计算结果如图(1-2)所示, 该格式具有较大数值耗散, 甚至抹去了间断, 在CFL数减小时表现更明显.

应用MacCormack格式计算结果如图(3-4)所示, 该格式相比Lax-Friedrichs格式提高了间断捕捉精度, 但具有较大数值振荡, 不具有TVD和局部极值性质, 在CFL数减小时表现更明显.

3.2 Shu-Osher问题

求解(1.1), Neumann边界条件, 初始数据

$$(\rho, u, p)(x, 0) = \begin{cases} (3.857143, 2.629369, 10.33333), & x < -4 \\ (1 + 0.2 \sin(5x), 0, 1), & x \geq -4 \end{cases} \quad (3.2)$$

应用Lax-Friedrichs格式计算结果如图(5)所示, 该格式具有较大数值耗散, 能识别间断, 但几乎抹平了其他区域的结果.

应用MacCormack格式计算结果如图(6)所示, 该格式相比Lax-Friedrichs格式提高了精度, 但具有较大数值振荡, 不具有TVD和局部极值性质.

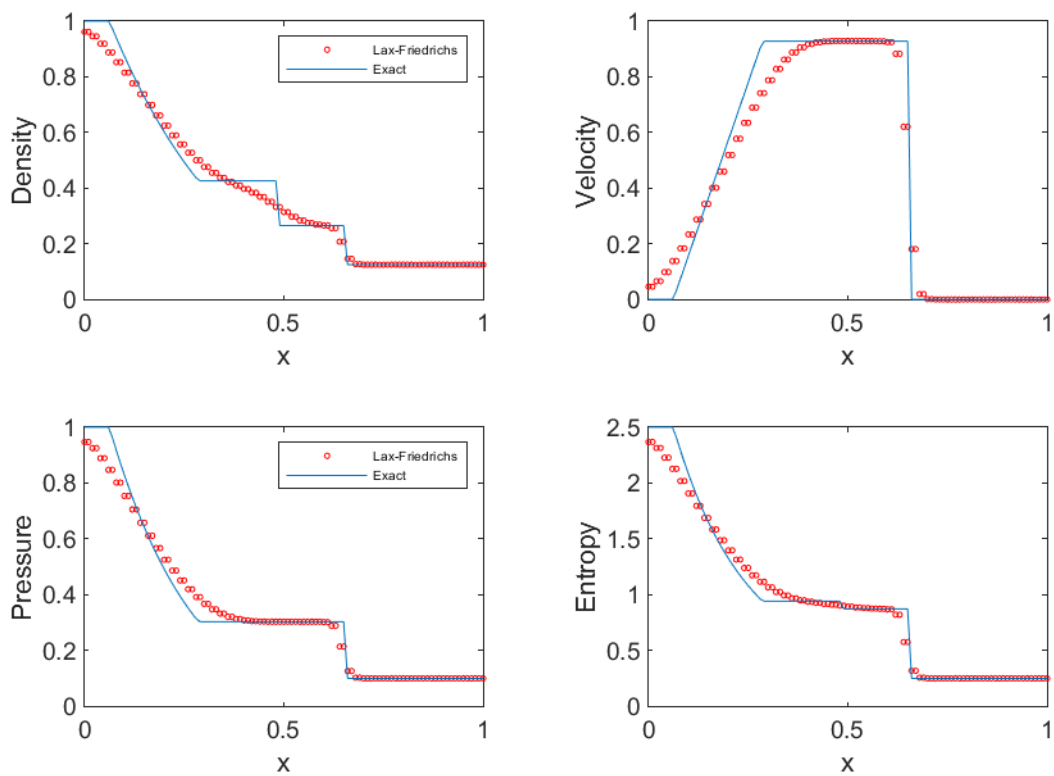


图 1: $t=0.2$ 时, CFL数为0.95, 应用Lax-Friedrichs格式解的分布. 点数 $N = 100$.

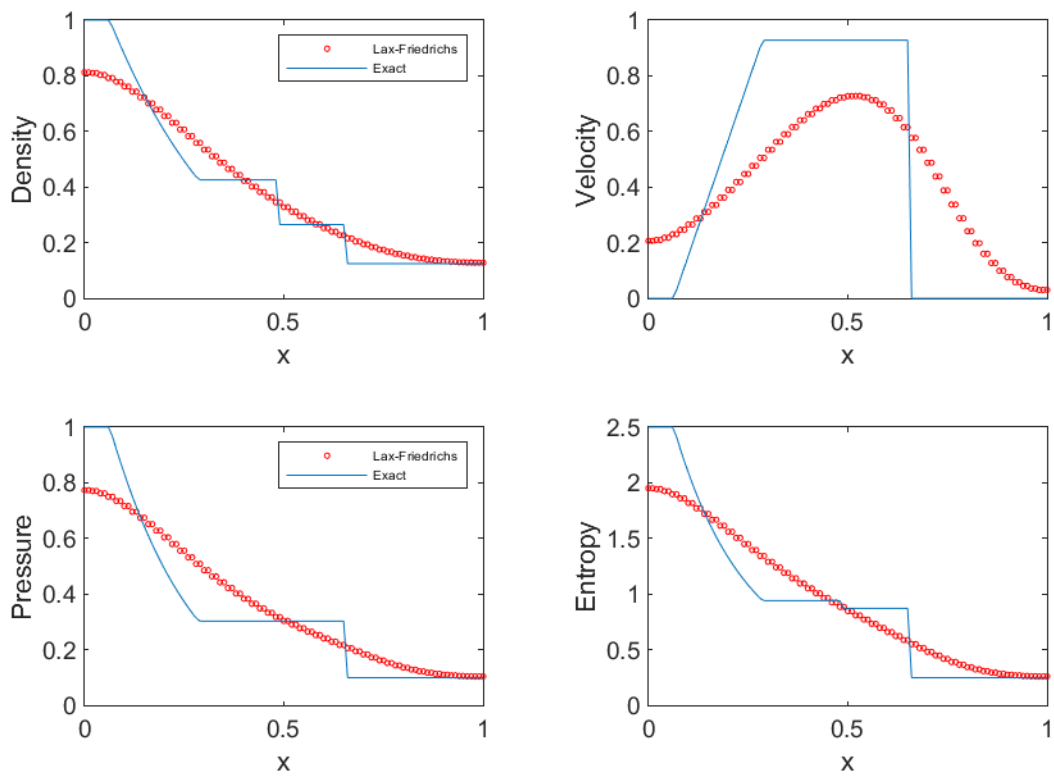


图 2: $t=0.2$ 时, CFL数为0.1, 应用Lax-Friedrichs格式解的分布. 点数 $N = 100$.

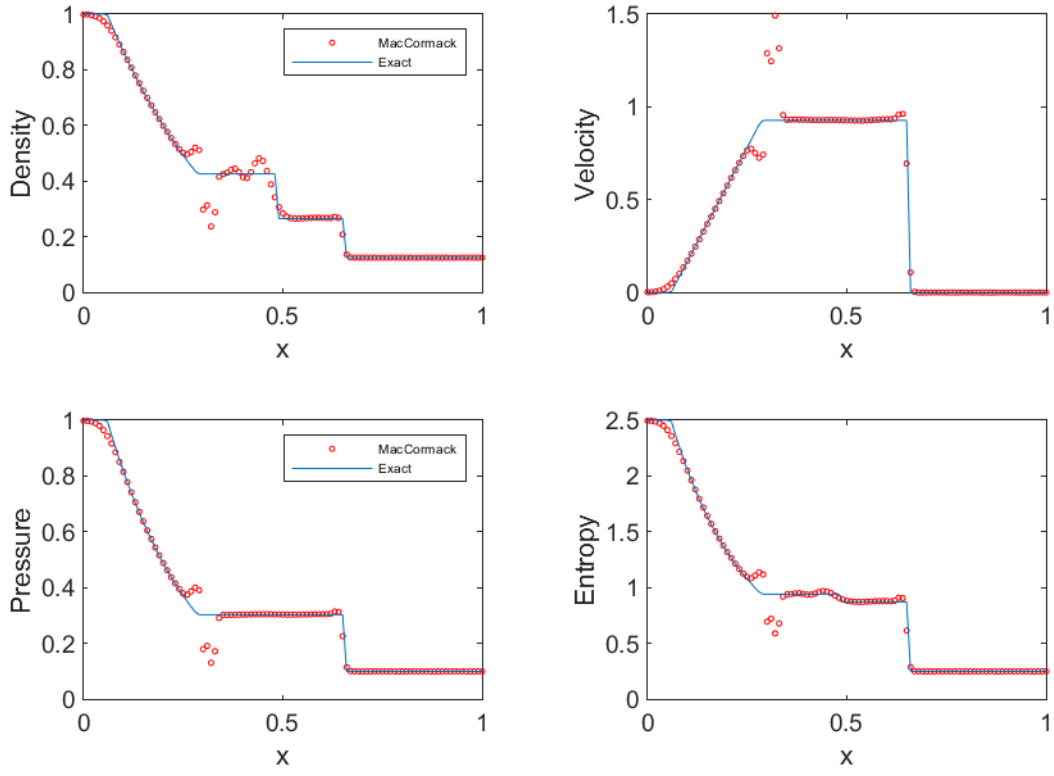


图 3: $t=0.2$ 时, CFL数为0.95, 应用MacCormack格式解的分布. 点数 $N = 100$.

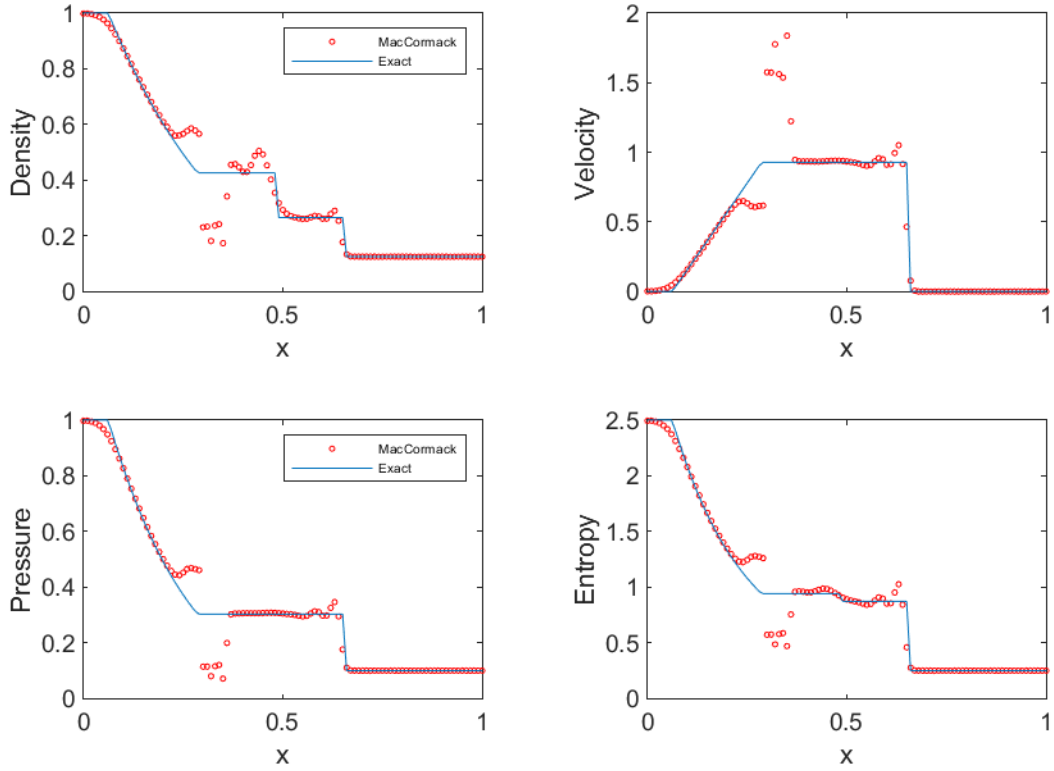


图 4: $t=0.2$ 时, CFL数为0.7, 应用MacCormack格式解的分布. 点数 $N = 100$.

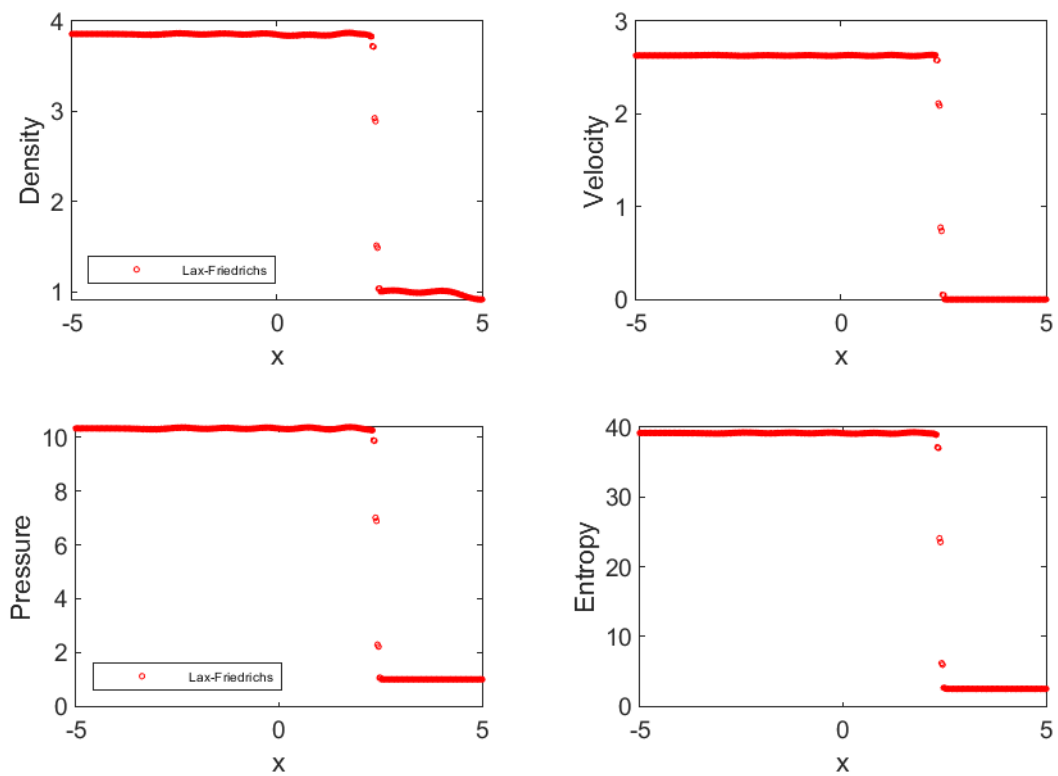


图 5: $t=1.8$ 时, CFL数为0.95, 应用Lax-Friedrichs格式解的分布. 点数 $N = 400$.

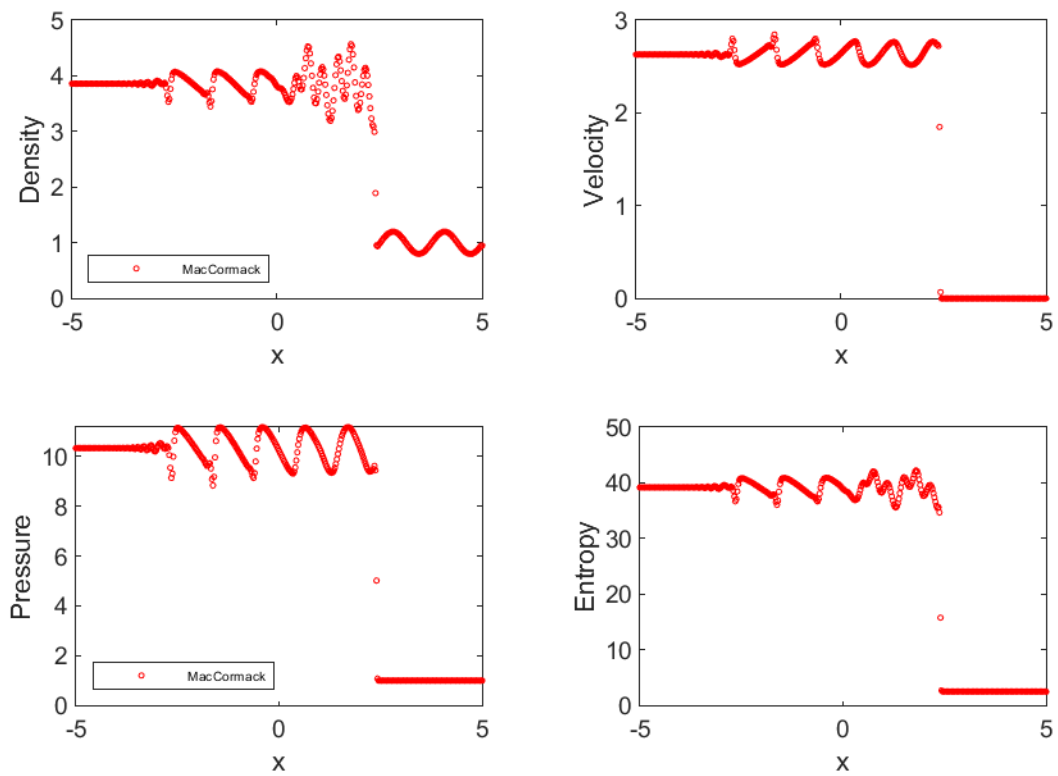


图 6: $t=1.8$ 时, CFL数为0.95, 应用MacCormack格式解的分布. 点数 $N = 400$.